

1. はじめに

河川堤防、干拓堤防などの土構造物は軟弱地盤上に構築された場合が多く、このような土構造物の振動性状は地盤との連成系によって考えなければならない。堤体を三角形のセン断クサビと仮定した時の定常応答を多層地盤系について解き、八郎潟干拓堤防を例にとって実測値と理論値との比較を行なった。

2. 多層地盤上の堤体の定常応答

水平な基盤上に三層の堆積した地表面があり、その上に三角形の堤体が構築されているものと仮定し、これらを鉛直下から正弦的セン断波が入射した場合を考える。この時の各地盤における応答は入力波の振巾 A_1 によって求めることができます。堤頂における応答 A_c と入力波の振巾 A_1 の比、すなわち、堤頂における応答倍率は次のようになります。

$$\frac{A_c}{A_1} = \frac{Z \sqrt{(1 + \sum C_i D_i)^2 + (\sum C_i E_i)^2}}{\sqrt{F}} ; \quad C_i = \frac{M_i (\frac{P}{P_i})^2}{D_i^2 + E_i^2}, \quad D_i = 1 - (\frac{P}{P_i})^2, \quad E_i = \frac{Z}{E_i J_i(z_i)} \quad (1)$$

$$F = (\cos^2 \frac{ph_2}{V_2} + d_2^2 \sin^2 \frac{ph_2}{V_2}) (\cos \frac{ph_3}{V_3} \cos \frac{ph_4}{V_4} - d_3 \sin \frac{ph_3}{V_3} \sin \frac{ph_4}{V_4})^2 + d_2^2 (\sin^2 \frac{ph_2}{V_2} + d_1 \cos^2 \frac{ph_2}{V_2}) (\cos \frac{ph_3}{V_3} \sin \frac{ph_3}{V_3} + d_3 \cos \frac{ph_3}{V_3} \sin \frac{ph_4}{V_4})^2 \\ - 2d_2(1-d_2^2) \cos \frac{ph_2}{V_2} \sin \frac{ph_2}{V_2} (\cos \frac{ph_3}{V_3} \sin \frac{ph_3}{V_3} + d_3 \cos \frac{ph_3}{V_3} \sin \frac{ph_4}{V_4}) (\cos \frac{ph_3}{V_3} \cos \frac{ph_4}{V_4} - d_3 \sin \frac{ph_3}{V_3} \sin \frac{ph_4}{V_4}) \\ + (K_1^2 + K_2^2) \{ (\cos^2 \frac{ph_2}{V_2} + d_2^2 \sin^2 \frac{ph_2}{V_2}) (\cos \frac{ph_3}{V_3} \sin \frac{ph_4}{V_4} + d_3 \cos \frac{ph_3}{V_3} \sin \frac{ph_4}{V_3}) + d_2^2 (\sin^2 \frac{ph_2}{V_2} + d_1 \cos^2 \frac{ph_2}{V_2}) (d_3 \cos \frac{ph_3}{V_3} \cos \frac{ph_4}{V_4} - \sin \frac{ph_3}{V_3} \sin \frac{ph_4}{V_4})^2 \\ + 2d_2(1-d_2^2) \cos \frac{ph_2}{V_2} \sin \frac{ph_2}{V_2} (\cos \frac{ph_3}{V_3} \sin \frac{ph_4}{V_4} + d_3 \cos \frac{ph_3}{V_3} \sin \frac{ph_4}{V_3}) (d_3 \cos \frac{ph_3}{V_3} \cos \frac{ph_4}{V_4} - \sin \frac{ph_3}{V_3} \sin \frac{ph_4}{V_4}) \} + 2d_1 d_2 d_3 K_1 \\ - 2K_2 \{ (\cos^2 \frac{ph_2}{V_2} + d_2^2 \sin^2 \frac{ph_2}{V_2}) (\cos \frac{ph_3}{V_3} \sin \frac{ph_4}{V_4} + d_3 \cos \frac{ph_3}{V_3} \sin \frac{ph_4}{V_3}) (\cos \frac{ph_3}{V_3} \cos \frac{ph_4}{V_4} - d_3 \sin \frac{ph_3}{V_3} \sin \frac{ph_4}{V_4}) \\ - d_2^2 (\sin^2 \frac{ph_2}{V_2} + d_1^2 \cos^2 \frac{ph_2}{V_2}) (\cos \frac{ph_3}{V_3} \sin \frac{ph_3}{V_3} + d_3 \cos \frac{ph_3}{V_3} \sin \frac{ph_4}{V_4}) (d_3 \cos \frac{ph_3}{V_3} \cos \frac{ph_4}{V_4} - \sin \frac{ph_3}{V_3} \sin \frac{ph_4}{V_4}) \\ - 2d_2(1-d_2^2) \cos \frac{ph_2}{V_2} \sin \frac{ph_2}{V_2} \{ d_3 (\sin^2 \frac{ph_3}{V_3} - \cos^2 \frac{ph_3}{V_3}) (\cos^2 \frac{ph_4}{V_4} - \sin^2 \frac{ph_4}{V_4}) + 2(1+d_2^2) \cos \frac{ph_2}{V_2} \cos \frac{ph_3}{V_3} \sin \frac{ph_3}{V_3} \sin \frac{ph_4}{V_4} \} \} \quad (2)$$

一方、堤体底面における振巾 U_0 と入力波の振巾 A_1 の比は

$$\frac{U_0}{A_1} = \frac{Z}{\sqrt{F}} \quad (3)$$

で与えられる。こゝに h は地表面の厚さ、 V はその弹性波速度を示し添字はその下から地層の番号を示す。 α はその下からの層間の振動インピーダンスである。

3. 応答特性の計算例

八郎潟干拓堤防のうち正面堤防を例にとり、上記の仮定に基づいて周波数応答を求めてみた。計算に用いた振動系は図-1に示す通りである。なお、堤体の振動については5次まで考慮し減衰定数は5%とした。図-2には

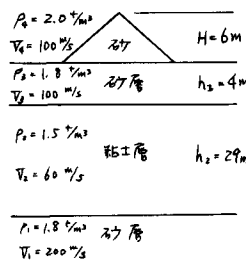


図-1 振動モデル

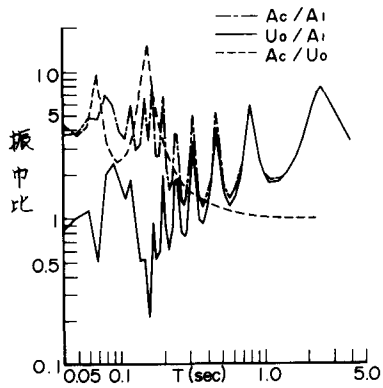


図-2 応答倍率曲線

堤体頂部における応答倍率、堤体底面におけるTは応答倍率および堤頂と堤体底面との振幅比が記されている。

堤体頂部における応答倍率は2.5秒、0.80秒、0.46秒および0.32秒等のところまでピードを示している。左より、堤体自身の固有振動周期は1次が0.16秒、2次が0.07秒であり、堤体の影響のない地盤での固有周期は1次が2.3秒、2次が0.74秒、3次が0.44秒および4次が0.31秒である。

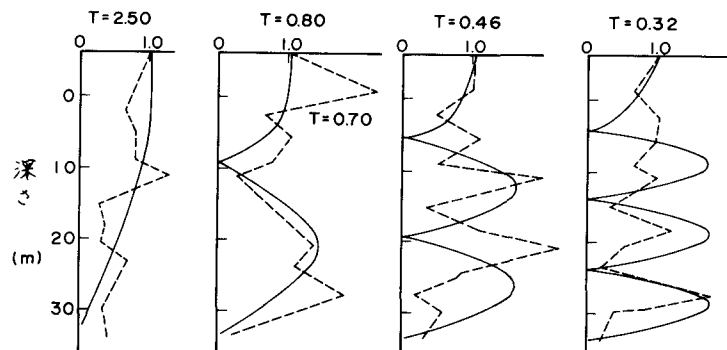


図-3 堤体および地盤の固有振動モード

図-3 は堤体および地盤内の振幅分布を、理論値を実線で示したものである。実測値は河上・浅田¹⁾によって八郎潟干拓堤防で得られた地中常時微動の振幅スペクトルある各周期について堤頂部分のスペクトルを1として各深さのスペクトルの比を求めたものである。この図より1次から4次までの計算で求めた各固有周期に等しいかあるいはほぼ同様な周期における実測振幅分布が理論値によるとよく一致していることが知られる。

図-4 は中間に存在する粘土層厚を変化させて計算した場合の層厚と1次および2次の固有周期の関係を示したものである。この図より、固有周期が粘土層厚には比例関係があることが理論的に示される。一方、同じ正面堤防で測定された常時微動の卓越周期と軟弱層の厚さとの関係を示してみると図-5 の如くになる。これらの常時微動の卓越周期は2次固有周期に近い値であり、1次固有周期のほうと比較的1次周期成分は得られない。これは周期頻度曲線から求めた常時微動特性では短周期成分が顕著に現れ、長周期の成分は得られにくいためであるものと考えられる。図-6 は理論的に求めた2次固有周期と実測の卓越周期との関係を示したものであるが、上部砂層の厚さを一定としてここで津波速度の値の精度を考慮すれば、あら程度の相関性は認められる。

4. 結び

既に得られていない常時微動特性から、第2節で述べた理論の妥当性を検討したが、単純な波の重複反射によつて実情に比較的よく合う結果が得られた。今後、この他の土構造物についても同様な比較を行なって理論値を検討して行きたい。

参考文献 1)河上・浅田：八郎潟中央干拓堤防正面堤地盤の観測(1972)

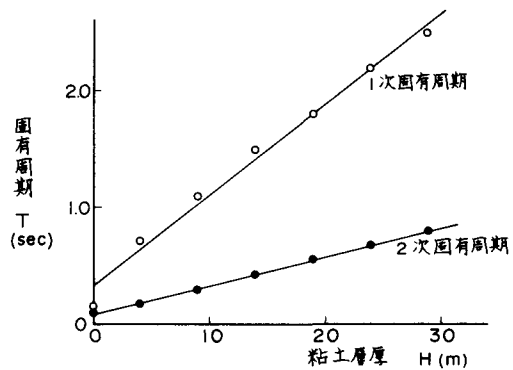


図-4 堤頂における固有周期

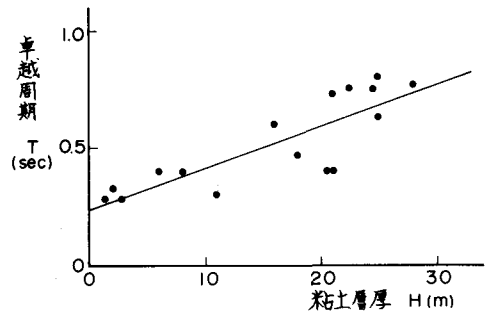


図-5 常時微動の卓越周期

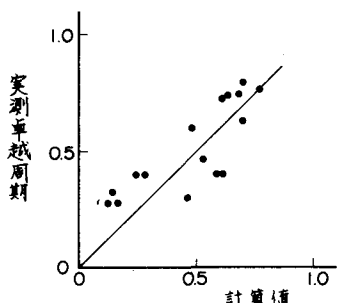


図-6 固有周期と卓越周期